

Rascacielos en Concreto de Altas Prestaciones

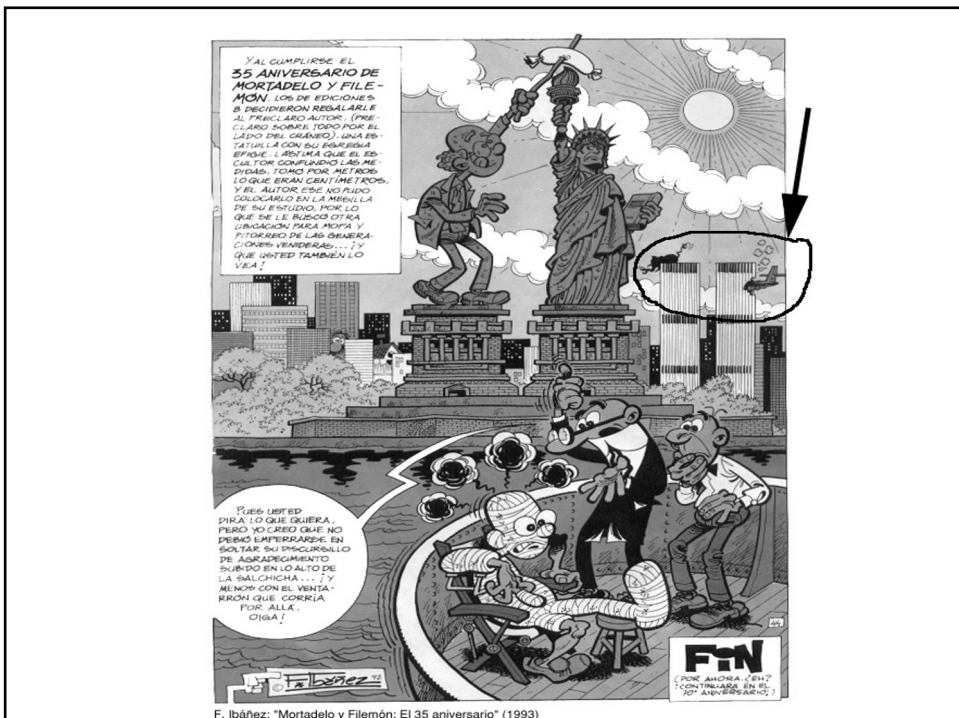
Ing. Paulo Helene

MSc, PhD, Prof. Titular da Universidade de São Paulo PCC.USP
Deputy Chairman of fib (CEB-FIP) Commission 5 "Structural Service Life Aspects"
Chairman of Red REHABILITAR CYTED
Director of GLARilem
Diretor Conselheiro do IBRACON

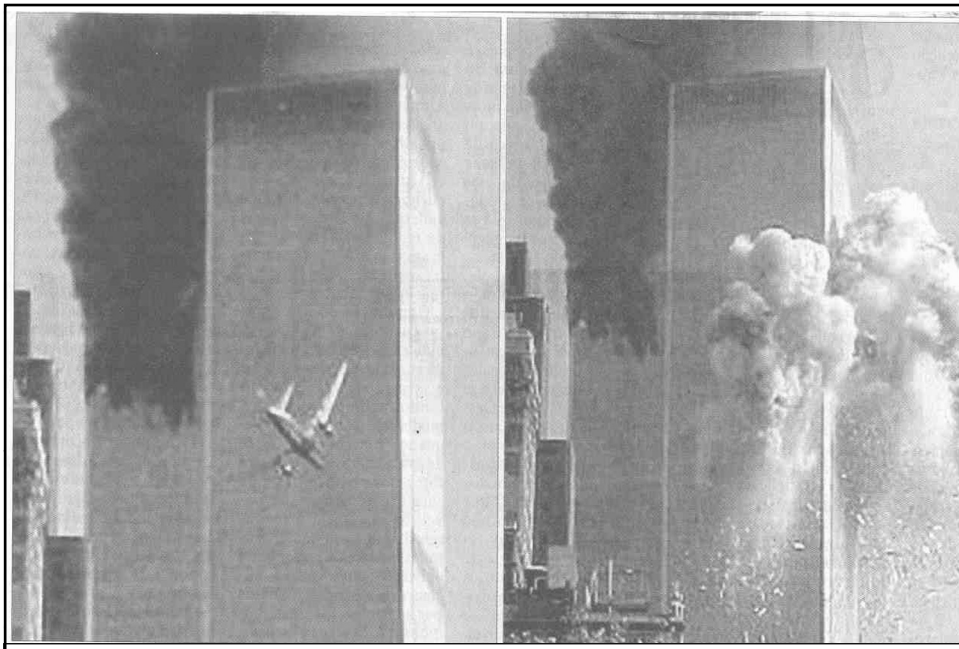
27 Setiembre 2002

Centro de Convenciones Cartagena de Indias COLOMBIA

1

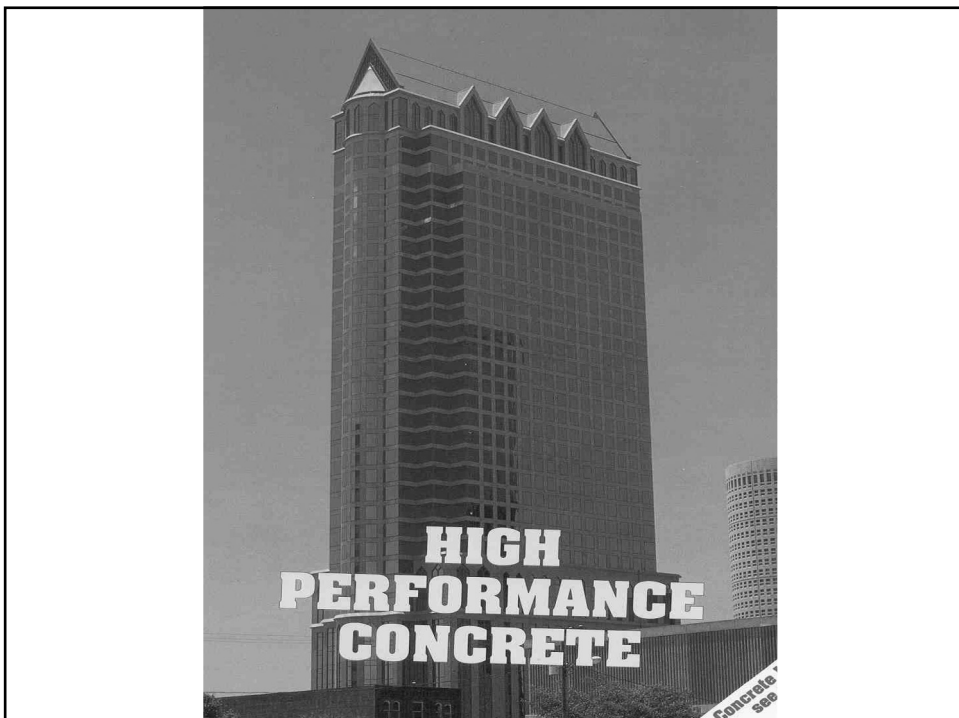


2



Discovery Channel , 11/09, 22h

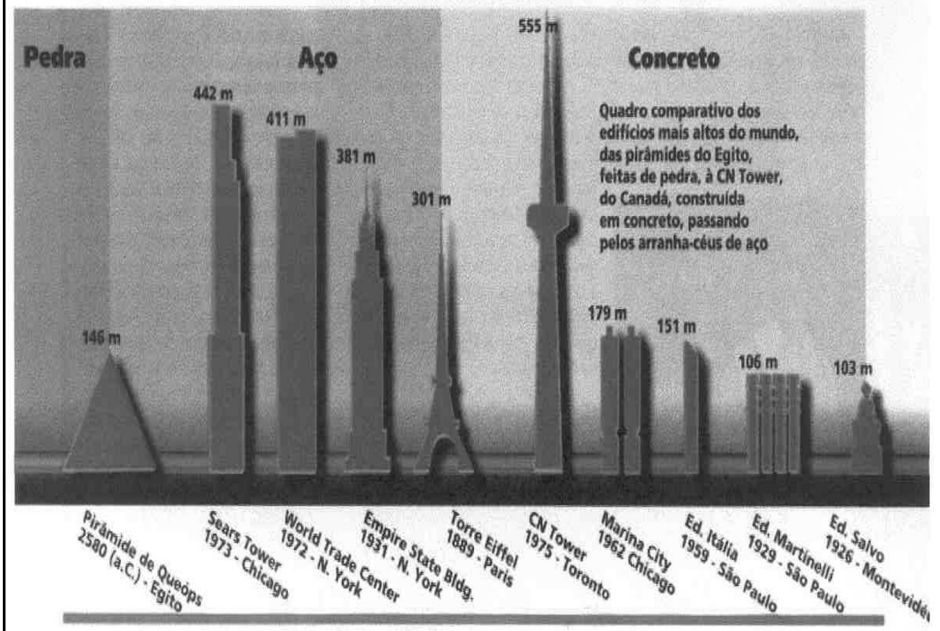
3



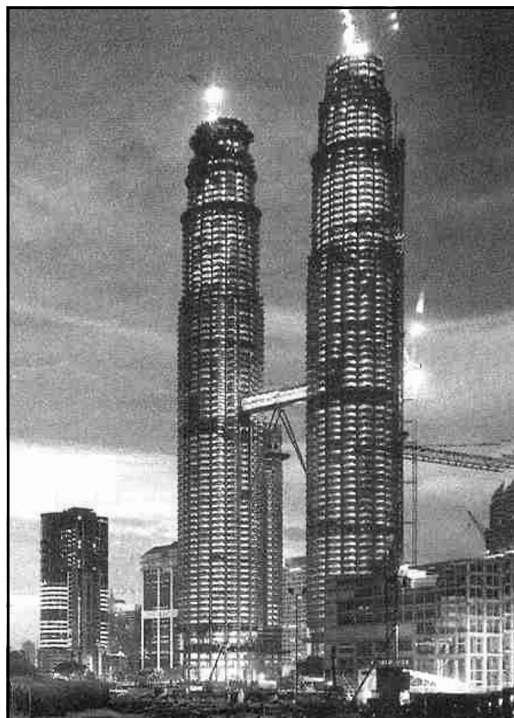
4

2

As novas torres: superando os gigantes de aço



5



Petronas Towers

Kuala Lumpur

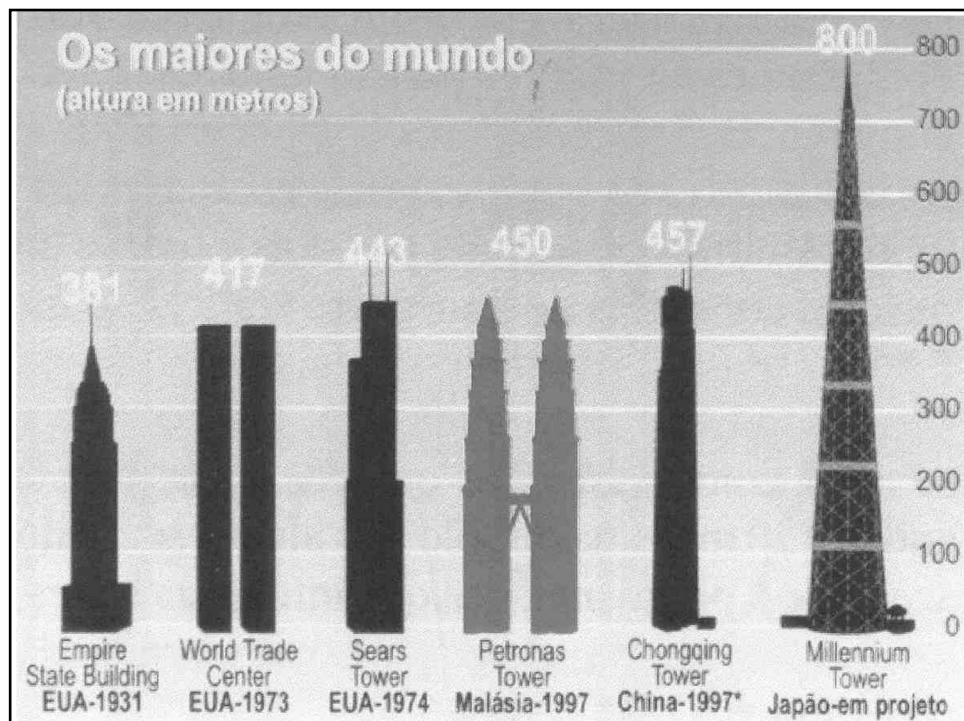
Malásia 1998

Altura 452 m

$f_{ck} = 80 (65) \text{ MPa}$

$f'_{c} = 9,500 \text{ psi}$

6



7

**Petronas
Towers**

**Kuala
Lumpur**

**Malásia
1998**

Altura 452 m

$f_{ck} = 65 \text{ MPa}$

$f'_c = 9,500 \text{ psi}$

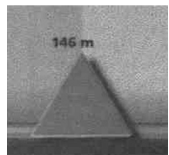
8

Genesis, 11.4

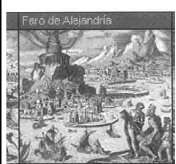
El pueblo de Dios dice:

**“ Vamos construir una ciudad e una torre
cuyo punto mas alto pueda tocar al cielo y
llegar al Paraíso, grabando nuestro
nombre para siempre e evitando que
seamos dispersados sobre toda la tierra.”**

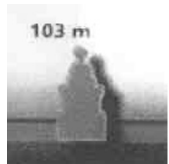
9



| | | |
|---|--------------|-----------|
| Pirâmide de Queóps Egito | 2580 a.C. | Existente |
| | Altura 146 m | |



| | | |
|----------------------------|---------------------|--------------------------------|
| Farol de Alexandria | 280 a.C. | Destruído por Terremoto |
| Egito | Altura 134 m | Século XIV d.C. |



**Edifício
Salvio** 1926 Existente
Montevideo Altura 103 m

10

Edifício Martinelli SP



1925

Torre Norte SP



1998

11

Edifício Martinelli

São Paulo

1925

25 pisos

Altura 106 m

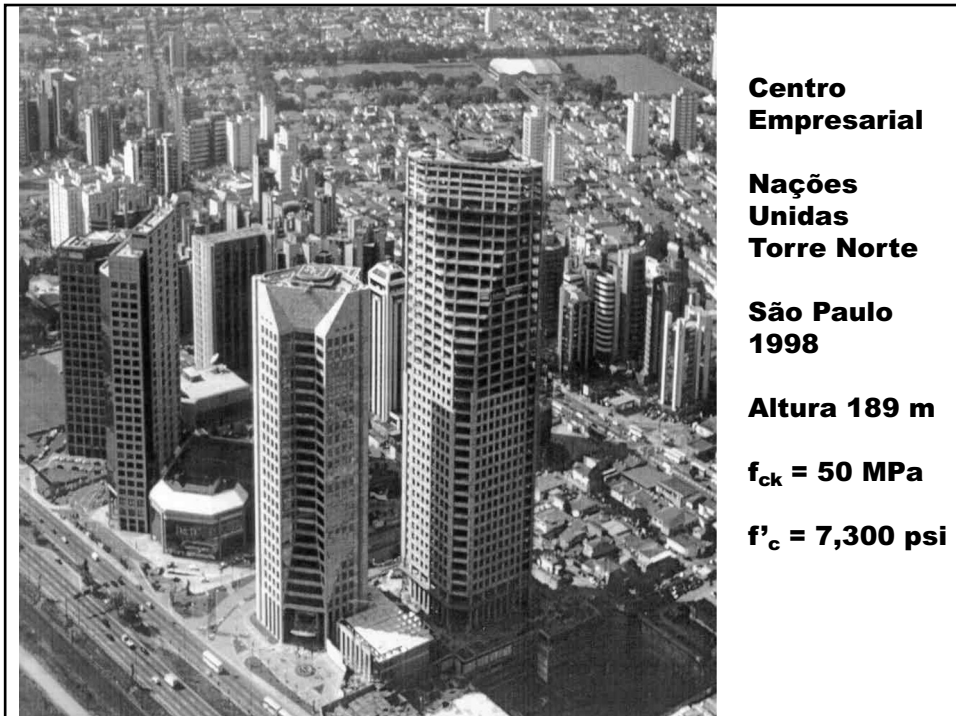
Rua Líbero Badaró

$f_{ck} = 13.5 \text{ MPa}$

$f'_c = 2,000 \text{ psi}$



12



**Centro
Empresarial**

**Nações
Unidas
Torre Norte**

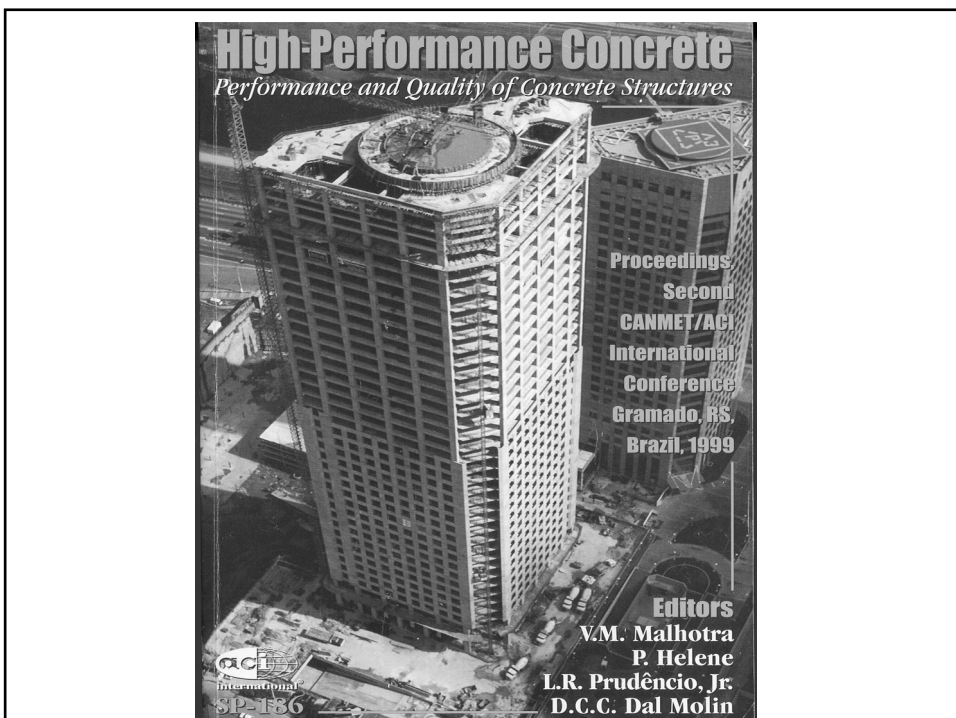
**São Paulo
1998**

Altura 189 m

$f_{ck} = 50 \text{ MPa}$

$f'_c = 7,300 \text{ psi}$

13



14



Buenos Aires, Argentina

15

satisfacer el espíritu y a las necesidades actuales

- **Seguridad Estructural**
- **Garantía da Vida Útil**
- **Constructibilidad**
- **Economía**
- **Desarrollo Sostenido**

16



Vida Útil

- Carbonatación
- Cloruros
- Humos
- Hongos
- Lixiviación
- Retracción
- Sulfatos
- << pH
- Corrosión
- Fisuración
- Destacamiento

17

Cloruros - difusión

$$t = \frac{c_{Cl}^2}{4 \cdot z^2 \cdot D_{ef,Cl}^{1/2}} \text{ (ano)}$$

c_{Cl} → 1 a 5 cm

D_{ef,Cl} → 0,15 a 2,7 cm²/ano

18

Cloruros - difusión

$$e = 2,0 \text{ cm}$$

$$f_{ck} = 15 \text{ MPa} \rightarrow t = 4 \text{ años}$$

$$f_{ck} = 50 \text{ MPa} \rightarrow t = 150 \text{ años}$$

$$f_{ck} = 25 \text{ MPa} \rightarrow t = 23 \text{ años}$$

19

Carbonatación

$$t = \frac{e^2_{co2} \text{ (año)}}{k^2_{co2}}$$

- $e_{co2} \rightarrow 1 \text{ a } 5 \text{ cm}$
- $k_{co2} \rightarrow 0.1 \text{ a } 1.0 \text{ cm/año}^{1/2}$

20

Carbonatación

e = 2,0 cm

$f_{ck} = 15 \text{ MPa} \rightarrow t = 8 \text{ años}$

$f_{ck} = 50 \text{ MPa} \rightarrow t = 350 \text{ años}$

$f_{ck} = 25 \text{ MPa} \rightarrow t = 38 \text{ años}$

21

Constructibilidad

columnas

50 MPa

22

Constructibilidad

vigas y losas

columnas

50 MPa

23

Constructibilidad

vigas y losas

50 MPa

columnas

50 MPa

24

Constructibilidad

vigas y losas 50 MPa
 35 MPa

columnas
50 MPa

25

Constructibilidad

vigas y losas 50 MPa
 35 MPa



columnas
50 MPa

26

Constructibilidad

50 MPa

vigas y losas

35 MPa

columnas

50 MPa

27

Constructibilidad

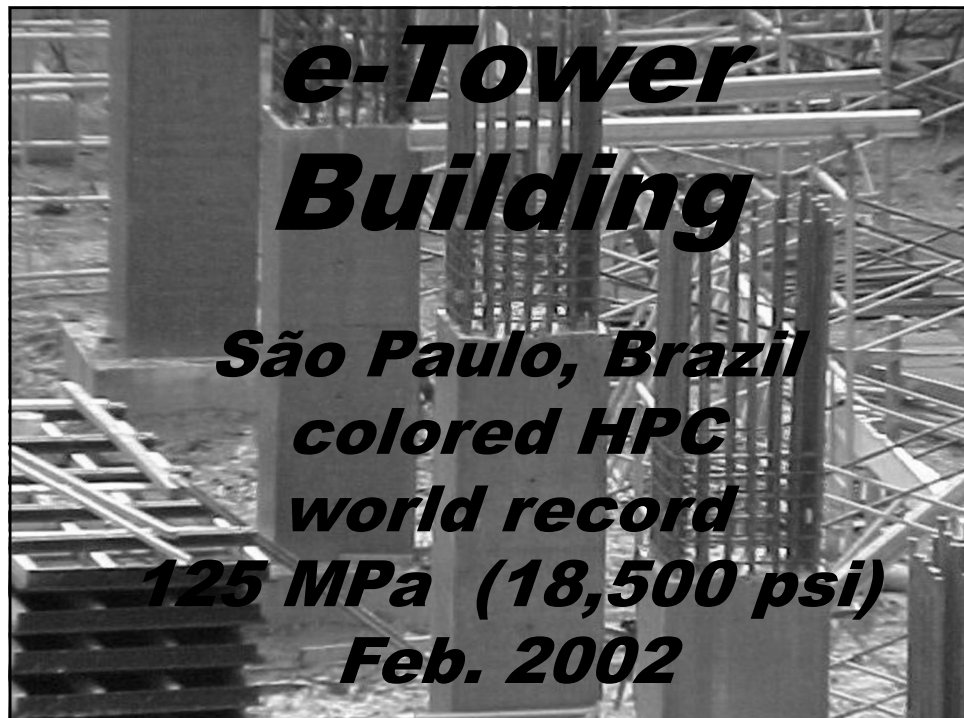
- concreto confinado
- concreto zunchado
- barras extras de acero

28

satisfacer el espíritu y a las necesidades actuales

- **Seguridad Estructural**
- **Garantia da Vida Útil**
- **Constructibilidad**
- **Economia**
- **Desarrollo Sostenido**

29



30



31

e-Tower
São Paulo

- 52.000 m² de área construída
- 42 pavimentos (04 subsolos)
- 800 vagas de garagem
- 02 restaurantes
- Academia de ginástica (19º andar)
- Piscina semi-olímpica (37º andar)

32

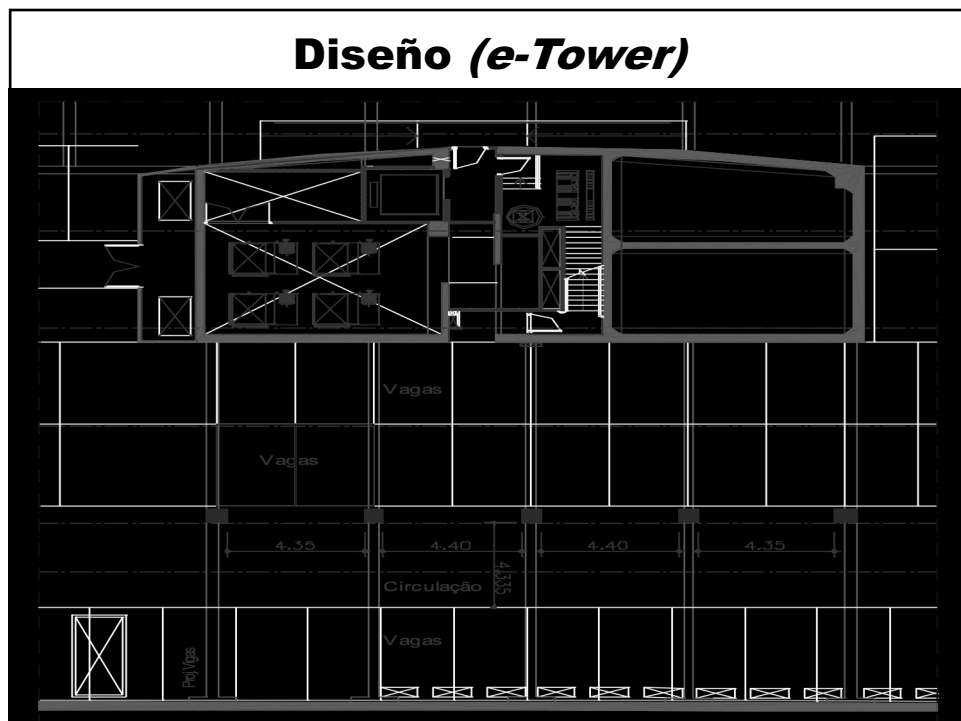


33

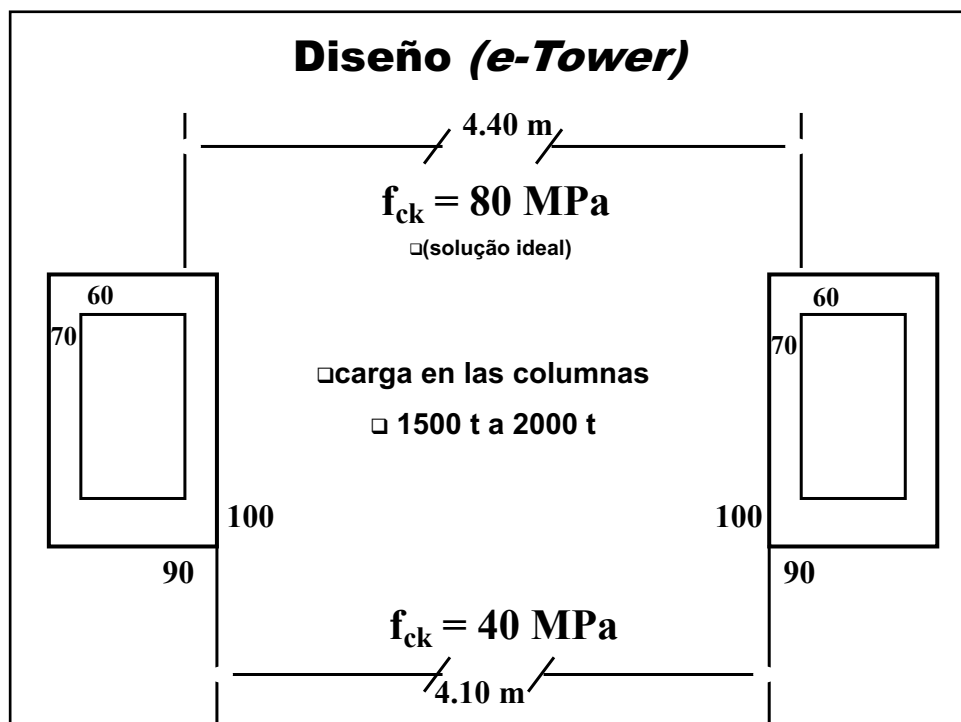
Diseño (*e-Tower*)

- Coordenación modular rigurosa - ejes a cada 1,25 m
- Columnas a cada 5 m en la fachada norte
- Distancia libre entre columnas de por lo menos 4,20 m
- Faces alineadas con pasillo (p/ facilitar circulación de autos)

34



35



36

Diseño (*e-Tower*)

- ganó 4 plazas de auto por piso
- son 4 pisos = 16 plazas
- cada plaza vale US \$ 5,000
- ganó US \$ 80,000

37

Diseño (*e-Tower*)

- area inicial = $90 \times 100 = 0.9 \text{ m}^2$
- area final = $60 \times 70 = 0.42 \text{ m}^2$
- economia = $0.9 - 0.42 = 0.48 \text{ m}^2$
- 53% menos concreto
- C80 cuesta 45% mas que C40
- ahorro de 8% en concreto

38



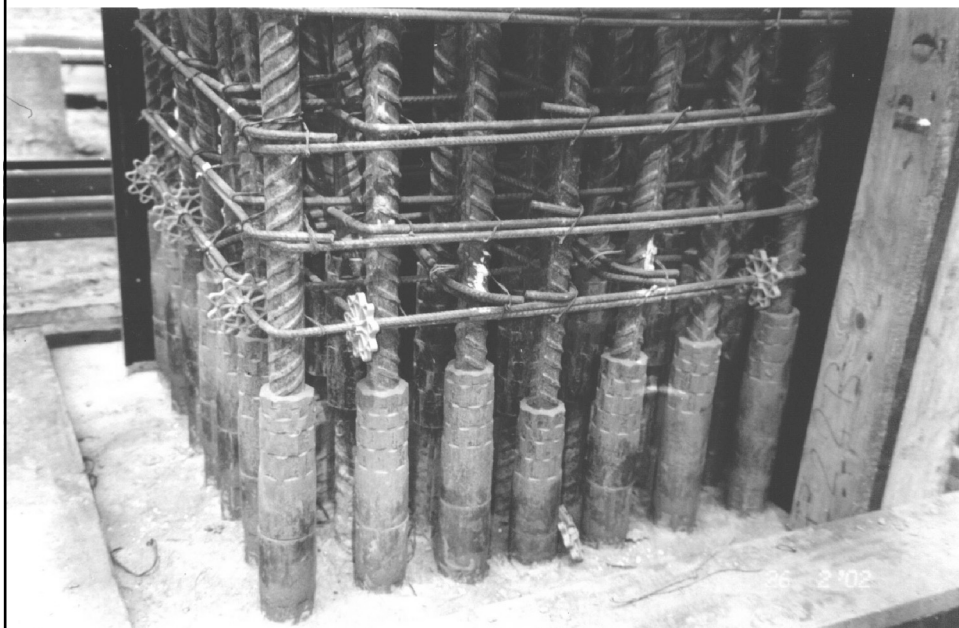
ENCOFRADO

**sistema de
columnas
“SOLTERAS”**

**economia de
encofrado**

39

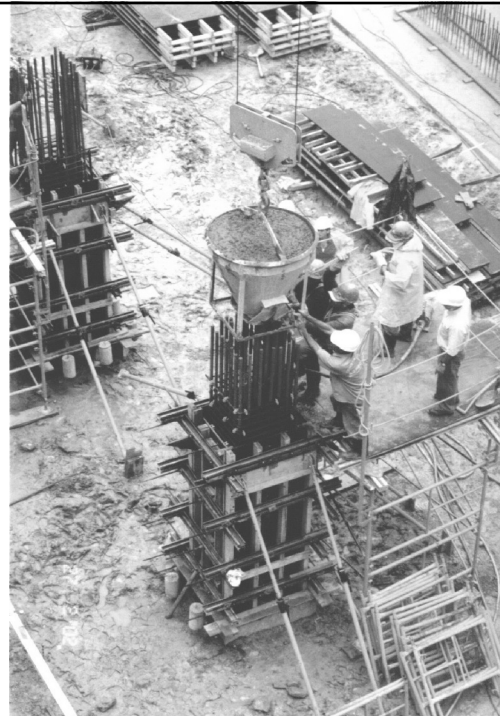
ARMADURAS



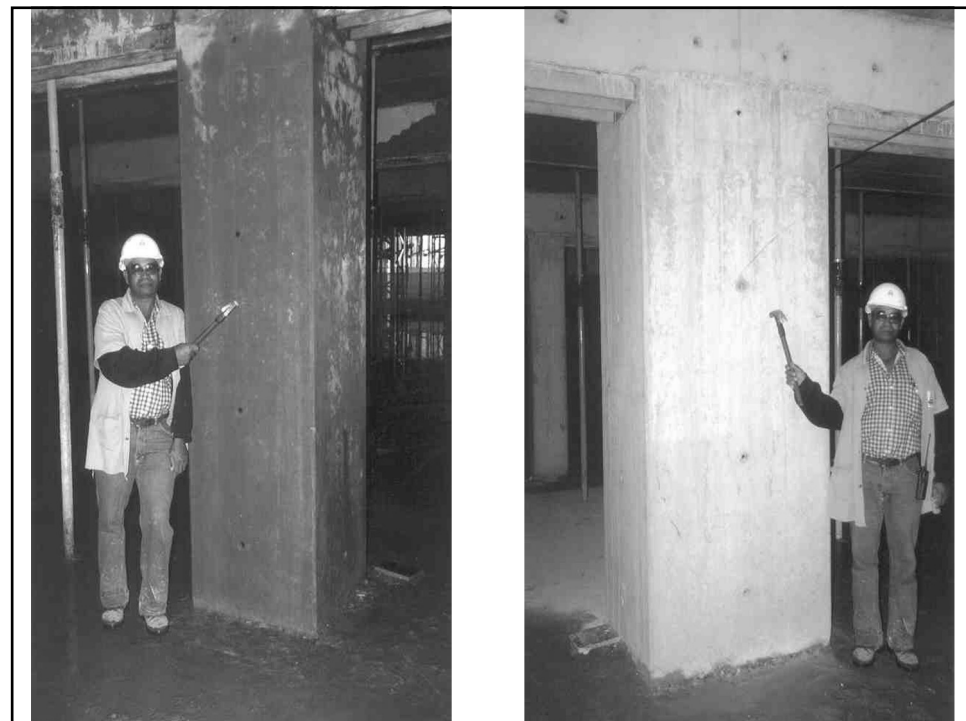
40

VACIADO

- ✓ **directo por encima de las armaduras**
- 5.5 m**
- ✓ **cohesión impide nidos de abeja**
- ✓ **aumento de productividad**



41



42

Estudio de Mezclas

3 meses

laboratório



composiciones potenciales



estudios en camión hormigonera



ejecución de columnas aparcamiento

43

Experimento

**Engemix,
Central da Barra
Funda,
São Paulo y
Centro de
Investigaciones
y Desarrollo de
la Universidad
de São Paulo**



44

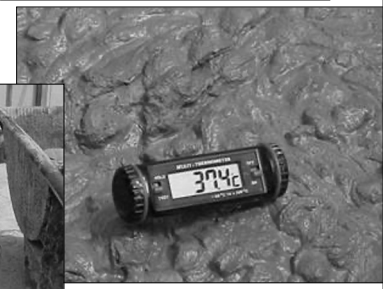
Control de los Materiales



45

Prueba de Hormigonado

Columnas de la Periferia
concreto sin pigmento e sin gelo
slump: 190 mm
prueba sob condiciones extremas
temperatura de vaciado: 37° C
temperatura ambiente de 32° C



46



47



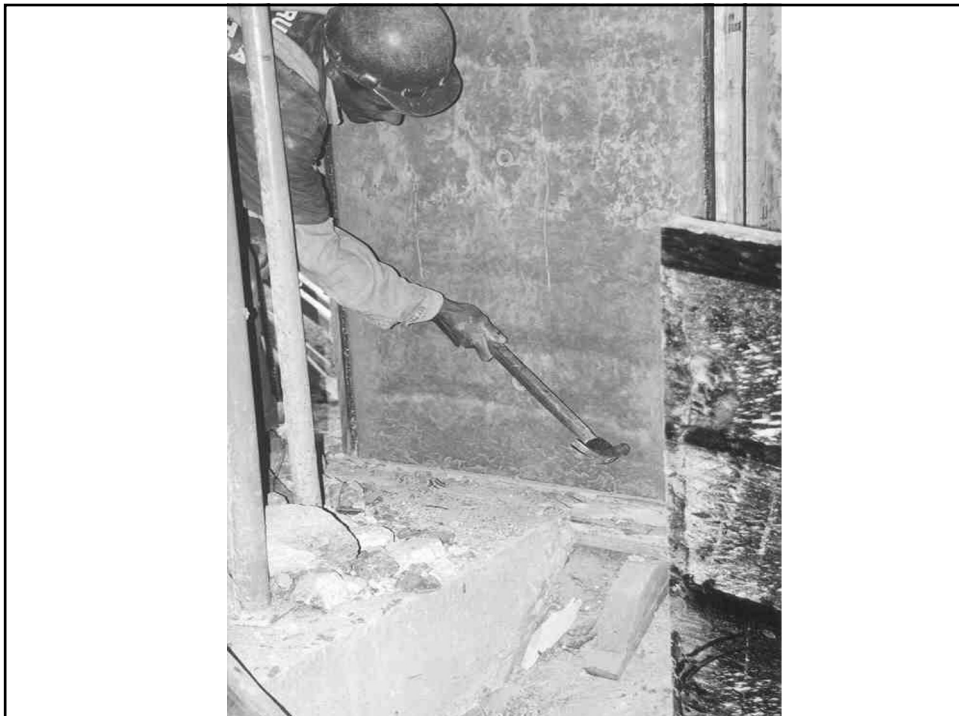
48



49



50



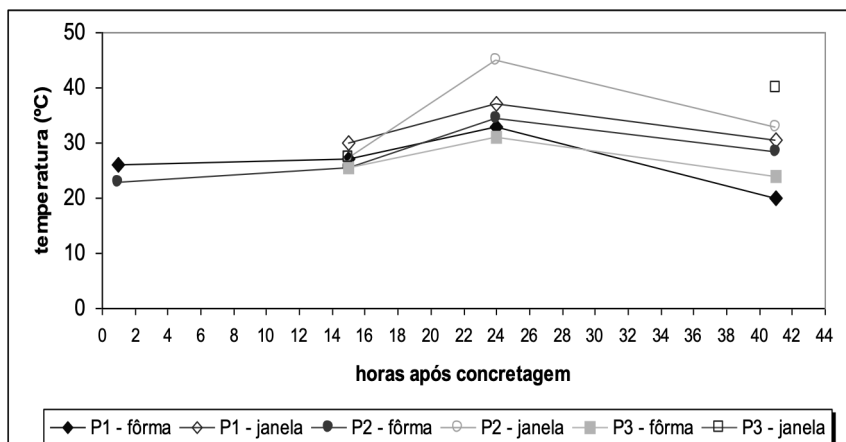
51

Tempo e temperatura

| Controle de tempo | |
|---|-------|
| Horário de início da mistura | 12:55 |
| Horário da saída da central | 13:35 |
| Horário chegada obra | 14:30 |
| Horário término da concretagem | 16:00 |
| | |
| Temperatura concreto na chegada na obra | |
| 37,5 °C | |

52

Monitoramento da temperatura



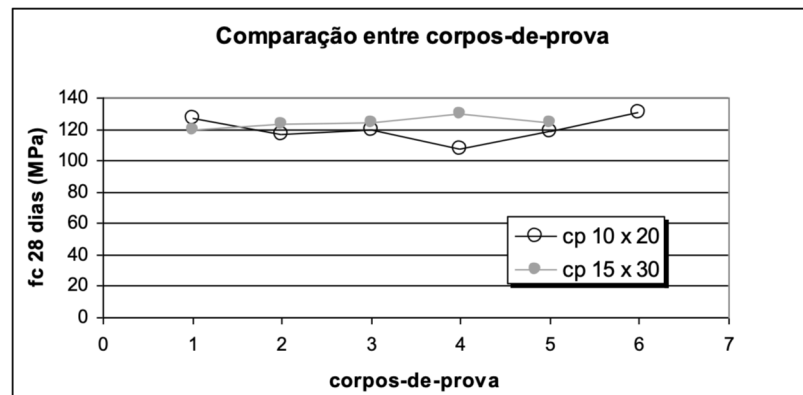
P1 = 133 P2 = 134 P3 = 135

53



54

Resistência à compressão pilares do subsolo



55

EJECUCIÓN

**Trabajabilidad
del concreto**

14 a 20 cm

**4 m³ por camión
hormigonera**



56

Hormigonado de las Columnas

- **4 pisos de aparcar, planta baja y 2 pisos más**
- **concreto con pigmento e yelo**
- **slump: 190 mm**
- **temperatura del concreto: 21° C**
- **temperatura ambiente: 22 a 30° C**



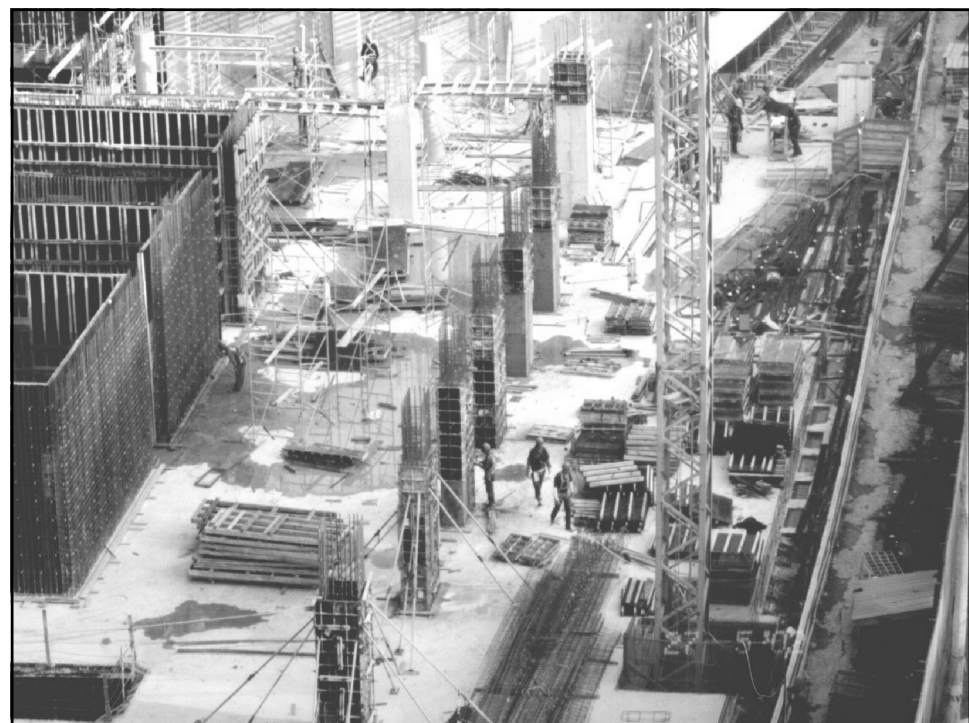
57



58



59



60

HPC (CAP) COMPOSICIÓN



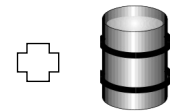
Cimento
Portland



Agregado
miúdo



Agregado
graúdo



Água

Concreto comum



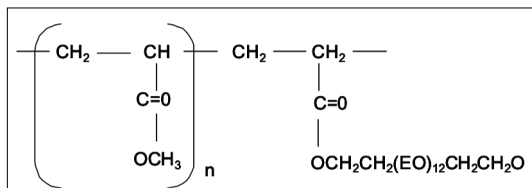
Aditivos químicos

Adições minerais ativas

□ **HPC → Concreto de Altas Prestaciones**

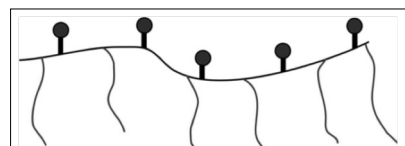
61

POLICARBOXILATO



(a) Monômero de um
policarboxilato

- Conhecidos comercialmente como de 3^a geração;
- Redução de até 40% de água da mistura (Leidholt, et al., 2000);
- Possuem grupos carboxílicos COOH;
- Cadeia lateral longa.



(b) Esquematização
da molécula

62

MECANISMO DE ACCIÓN

Cimento Portland + Água

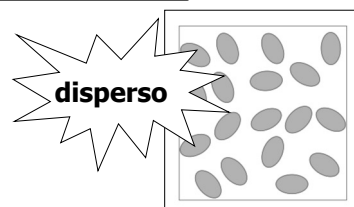
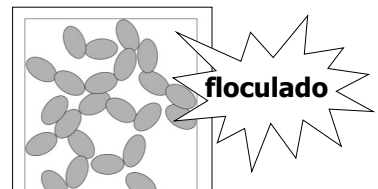


Flocação



aprisionamento de água
entre os grãos de
cimento

redução da fluidez e da
área específica disponível
para hidratação



63

MECANISMO DE ACCIÓN

Cimento Portland + Água



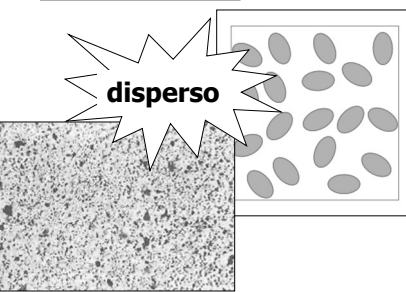
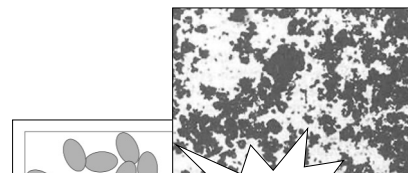
Flocação



aprisionamento de água entre os
grãos de cimento



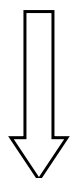
redução da fluidez e da área
específica disponível para
hidratação



64

ADICIONES MINERALES

Para obter maior compacidade e maior resistência mecânica



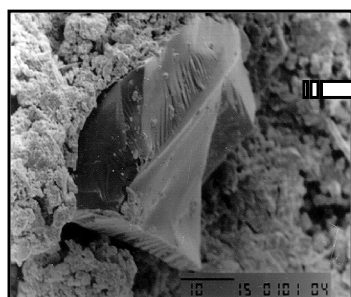
adição de minerais ativos

Metacaulim y Humus de Sílice

- **estrutura mais compacta**
- **reagem com a cal livre melhorando a resistência e durabilidade.**

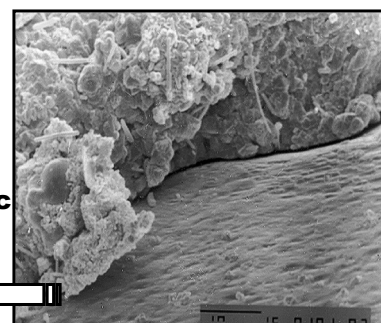
65

ADICIONES MINERALES



Aumento 1500x

Concreto convencional



Aumento 1500x

**Concreto con
Metacaulim**

66

PIGMENTO

- ✓ Óxido de Yerro Fe_2O_3 > 98%
- ✓ grado 8 de solidez a la luz solar
- ✓ 0,5% de sales solubles
- ✓ 99,95% diâmetro de particula < 0,045mm (#325) 0,05% de retenido
- ✓ Densidade 4.500 kg/m³
- ✓ Formato Partícula: Esférica
- ✓ EN 12878 y ASTM C 979

67

Composición del Concreto

| materiales | ratio | amount | obs |
|--------------|--------|-------------------------|---|
| cemento | 1,00 | 623 kg/m ³ | CPV ARI |
| adición | 0,15 | 93 kg/m ³ | silica y metacaulim |
| arido grueso | 1,65 | 1.027 kg/m ³ | basaltico, 19mm, MF 6,9, 3.020 kg/m ³ |
| arido fino | 0,88 | 550 kg/m ³ | quartzo, 2,4mm, MF 2,0, 2.670 kg/m ³ |
| pigmento | 0,04 | 25 kg/m ³ | oxido de yerro |
| super | 0,01 | 6,2 kg/m ³ | policarboxilato |
| retardador | 0,0058 | 3,6 kg/m ³ | acido hydrocarboxálico |
| água | 0,19 | 135 kg/m ³ | A / C = 0,19 |

68

CONTROL TECNOLÓGICO

- Verificação da nota de entrega**
- Recebimento do concreto fresco**
 - Verificação dos tempos de transporte e lançamento
 - Execução de abatimento no início e no final da descarga
 - Controle da temperatura
- Determinação da resistência à compressão**
 - Moldagem de Corpos de prova com dimensões (10x20cm)
 - Câmara úmida na obra
 - Acabamento dos topos do corpo de prova (retífica)
 - Identificação e rastreabilidade do concreto
 - Especificação de idades mais avançadas (63, 91 dias)
- Determinação do módulo de deformação**

69

COMUNICACIÓN VISUAL



70

CONTROL DE TEMPERATURA INICIAL del CONCRETO FRESCO

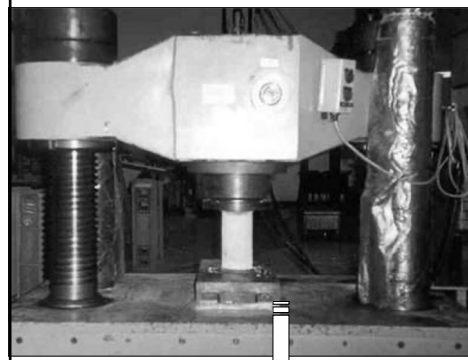
| | | | | |
|-----------|-----------|-------|-----------|-----------|
| Problemas | Aceitável | Ideal | Aceitável | Problemas |
|-----------|-----------|-------|-----------|-----------|



5° 10° 15° 20° 25° 30°

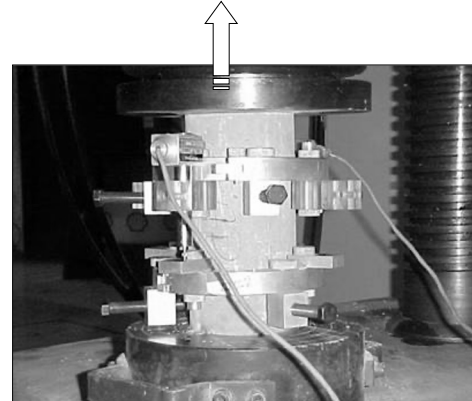
71

Propiedades Mecânicas



**Resistência
à compressão**

**Módulo
de elasticidade**



72



73

Resistência à Compressão

| | Traço | T7 | T8 | T9 | T10 | T11 | T12 | T13 | T14 | T15 | T16 |
|----------------|------------|------------|------------|-----------|-----------|-----------|-----------|-----------|-----------|------------|-----|
| Amostra | amostra 1 | amostra 2 | amostra 3 | amostra 4 | amostra 5 | amostra 6 | amostra 7 | amostra 8 | amostra 9 | amostra 10 | |
| Data | 10/10/2002 | 27/10/2002 | 21/11/2002 | 15/2/2002 | 27/2/2002 | 16/3/2002 | 25/3/2002 | 25/4/2002 | 21/4/2002 | 21/4/2002 | |
| moldagem | | | | | | | | | | | |
| CP 1 | 134.3 | 119.7 | 120.2 | 113.1 | 133.0 | 114.9 | 121.8 | 115.6 | 119.0 | 116.2 | |
| CP 2 | 131.2 | 123.0 | 124.7 | 121.8 | 144.3 | 105.6 | 127.4 | 114.9 | 129.9 | 126.2 | |
| CP 3 | 127.4 | 124.1 | 120.8 | 125.6 | 149.9 | 115.6 | 133.7 | 111.2 | 123.7 | 126.8 | |
| CP 4 | 129.9 | 129.6 | 115.8 | 118.7 | 143.0 | 112.4 | 124.9 | 123.1 | | | |
| máx | 134.3 | 129.6 | 115.8 | 133.1 | 149.9 | 115.6 | 133.7 | 123.1 | 129.9 | 126.8 | |
| c | | | | | | | | | | | |
| min | 127.4 | 119.7 | 124.7 | 105.6 | 133.0 | 105.6 | 121.8 | 111.2 | 119.0 | 116.2 | |
| c | | | | | | | | | | | |
| f | 130.7 | 122.3 | 120.4 | 127.3 | 142.6 | 119.1 | 127.0 | 116.2 | 124.2 | 123.1 | |
| cm | | | | | | | | | | | |
| Desvio padrão | 2.9 | 2.3 | 3.6 | 3.0 | 3.0 | 2.6 | 2.0 | 3.0 | 2.5 | 3.0 | |
| Coef. Variação | 2.2 | 1.9 | 3.0 | 8.2 | 2.9 | 3.1 | 3.0 | 3.3 | 3.4 | 3.8 | |
| f | | | | | 124.6 | | | | | | |
| cm | | | | | | 116.6 | | | | | |
| min | | | | | | | 149.9 | | | | |
| c | | | | | | | | | | | |
| máx | | | | | | | | | | | |
| c | | | | | | | | | | | |
| 28 dias | | | | | | | | | | | |

74

Módulo de elasticidade

| | T7 | T8 | T9 | T11 |
|--------------|------|------|------|------|
| CP 1 | 41.6 | 47.1 | 42.8 | 51.7 |
| CP 2 | 42.2 | 48.4 | 47.2 | 55.2 |
| CP 3 | 41.7 | 45.8 | 45.7 | 51.2 |
| CP 4 | | 48.2 | 50.8 | |
| Média | 41.8 | 47.4 | 46.6 | 52.7 |
| Desv pad | 0.3 | 1.3 | 2.2 | 2.2 |
| Coef var | 0.8 | 2.7 | 4.8 | 4.1 |
| Média total: | | | 47.1 | |
| Máximo | | | 55.2 | |
| Mínimo | | | 41.6 | |

75

| Comparación de Propiedades Mecánicas | | $\square f_{ck} = 115 \text{ MPa}$ | $\square f_{ck} = 25 \text{ MPa}$ |
|---|----------------|-------------------------------------|------------------------------------|
| | | $\square f'_c = 17,000 \text{ psi}$ | $\square f'_c = 3,600 \text{ psi}$ |
| f_c | 7 dias | 111 | 18 |
| f_c | 28 dias | 125 | 32 |
| f_c | 63 dias | 139 | 37 |
| f_c | 91 dias | 155 | 39 |
| E_{ci} | 28 dias | 50 | 30 |
| f_{ct} | 28 dias | 10 | 3,1 |
| Ultra-som | m/s | 4950 | 3250 |
| Esclerometria | | 52 | 23 |

76

Comparación de Durabilidad

$f_{ck} = 115 \text{ MPa}$ $f_{ck} = 25 \text{ MPa}$

$f'_c = 17,000 \text{ psi}$ $f'_c = 3,600 \text{ psi}$

Carbonatación

28+63d 25°C 65% 5%

zero

29mm

Absorción H₂O

0,40%

7,5%

Volumen Vacío

1%

17,5%

Densidad

2530 kg/m³

2310 kg/m³

Absorción Capilar

0,1 g/cm²

2,7 g/cm²

Ascención Capilar

0 cm

30 cm

Cloruros

43 C

8.400 C

Abrasión cm³/cm²

0,019

0,051

77

Protección del Medio Ambiente

“As estruturas devem ser projetadas para vida útil de pelo menos 150 anos.

Projetar com base no custo global de construção e uso, incluídas as despesas de manutenção e reparo, (*life-cycle cost*) maximiza o retorno do capital disponível e protege os recursos naturais.”

Freyermuth

Life-Cycle Cost Analysis

Concrete International, ACI, v. 23, n. 2, Feb. 2001. p.89-95

78

Desarrollo Sostenible

“Aumentar a vida útil das estruturas de concreto é uma solução fácil e efetiva para preservação dos recursos naturais.

Se desenvolvermos nossa capacidade de projetar e construir estruturas de concreto que durem **500 anos**, em vez de 50 anos, iremos multiplicar por 10 a produtividade de nossas reservas de matérias primas, o que significa dizer preservar 90% das mesmas.”

Kumar Mehta

Reducing the Environmental Impact of Concrete
Concrete International. ACI, v.23, n. 10, Oct. 2001. p.61-66

79

***Los Arquitectos e Ingenieros
constroem los marcos de grandeza
de una civilización.***

***Traduzem su historia,
sus sueños, sus ideales
en obras imponentes e durables
que elevan la auto estima
de su pueblo.***

80



El Concreto de Altas Prestaciones es una de las grandes oportunidades atuales de rescatar esa importancia y vocación de la arquitectura e ingeniería de sur America